

**SINTESIS DAN KARAKTERISASI KOMPOSIT ZnFe<sub>2</sub>O<sub>4</sub>/SnO<sub>2</sub> SEBAGAI  
FOTODEGRADASI ANTIBIOTIK TETRASIKLIN DAN  
ZAT WARNA *CONGO RED***

**TESIS**

**Diajukan Untuk Melengkapi Salah Satu Syarat Memperoleh Gelar Magister  
Sains Bidang Studi Kimia**



**Oleh :**

**Gierrald Abduch**

**08092682327002**

**PROGRAM STUDI MAGISTER KIMIA  
FAKULTAS MATEMATIKA DAN ILMU PENGETAHUAN ALAM  
UNIVERSITAS SRIWIJAYA  
2025**

**HALAMAN PENGESAHAN**

**SINTESIS DAN KARAKTERISASI KOMPOSIT ZnFe<sub>2</sub>O<sub>4</sub>/SnO<sub>2</sub> SEBAGAI  
FOTODEGRADASI ANTIBIOTIK TETRASIKLIN DAN ZAT WARNA CONGO RED**

**TESIS**

**Diajukan Untuk Memenuhi Salah Satu Syarat**

**Memperoleh Gelar Magister Kimia**

**Oleh :**

**GIERRALD ABDUCH**

**(08092682327002)**

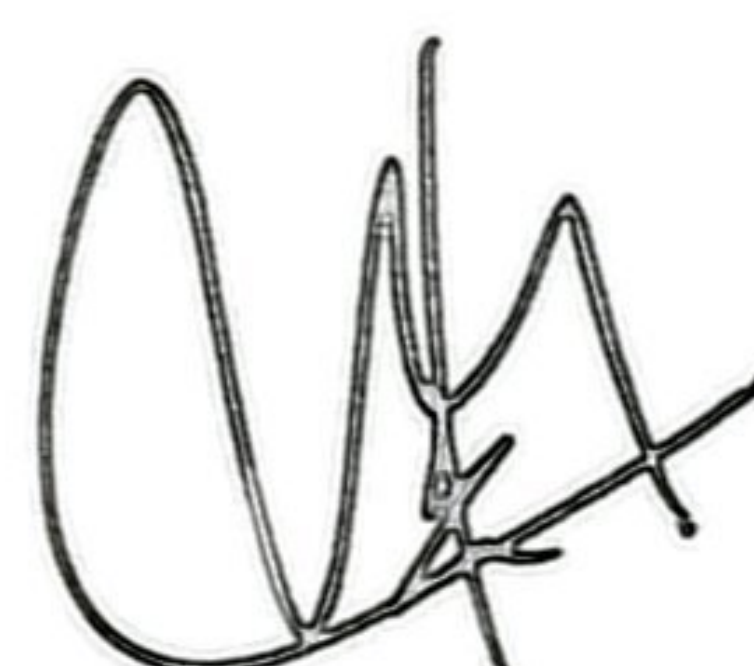
**Pembimbing I**



**Prof. Dra. Dr. Poedji Loekitowati Hariani, M.Si  
NIP. 196808271994022001**

**Palembang, 6 Juni 2025**

**Pembimbing II**



**Dr. Muhammad Said, M.T.  
NIP. 197407212001121001**

**Mengetahui,**



**Dr. Fernihayahati, M.Si  
NIP. 197402052000032001**

## HALAMAN PERSETUJUAN

Tesis dengan judul "Sintesis dan Karakterisasi Komposit ZnFe<sub>2</sub>O<sub>4</sub>/SnO<sub>2</sub> Sebagai Fotodegradasi Antibiotik Tetrasiklin dan Zat warna *Congo Red*" telah dipertahankan dihadapan Tim Penguji Sidang Tesis Program Studi Magister Kimia Fakultas Matematika Dan Ilmu Pengetahuan Alam Universitas Sriwijaya Pada tanggal 6 Juni 2025 dan telah diperiksa, diperbaiki dan disetujui dengan saran dan masukan yang diberikan.

Palembang, 6 Juni 2025

Pembimbing:

1. Prof. Dra. Dr. Poedji Loekitowati Hariani, M.Si

NIP. 196808271994022001

(  )

2. Dr. Muhammad Said, M.T.

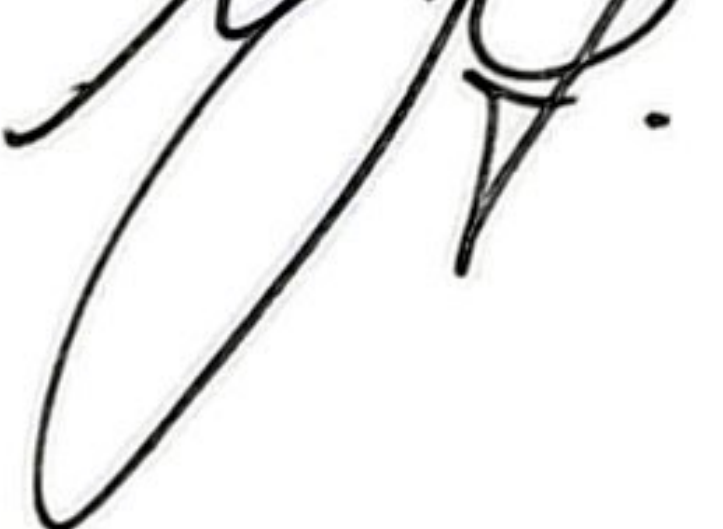
NIP. 197407212001121001

(  )

Pengaji:

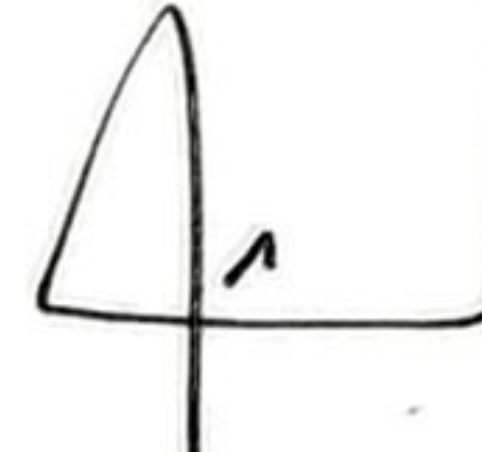
1. Dr. Nova Yuliasari, S.Si., M.Si.

NIP. 197307261999032001

(  )

2. Dr. Desnelli, M.Si.

NIP. 196912251997022001

(  )

Mengetahui,

Dekan FMIPA



Prof. Hermansyah, S.Si.,M.Si., Ph.D.

NIP. 197111191997021001

Koordinator Program Studi



Dr. Ferlinahayati, M.Si

NIP. 197402052000032001

**HALAMAN PERSETUJUAN PUBLIKASI KARYA ILMIAH UNTUK  
KEPERLUAN AKADEMIS**

Sebagai civitas akademik Universitas Sriwijaya, yang bertanda tanda dibawah ini :

Nama : Gierrald Abduch

NIM : 08092682327002

Prodi/BKU : Magister (S2) Kimia / Kimia Lingkungan

Jenis Karya : Tesis

Demi pengembangan ilmu pengetahuan, saya menyetujui untuk memberikan kepada Universitas Sriwijaya hak bebas royalty non-ekslusif (nonexclusively royalty-free right) atas karya ilmiah saya yang berjudul ""Sintesis dan Karakterisasi Komposit  $ZnFe_2O_4/SnO_2$  Sebagai Fotodegradasi Antibiotik Tetrasiklin dan Zat warna Congo Red" dengan hak bebas royalty non-ekslusif ini Universitas sriwijaya berhak menyimpan, mengalih, memformatkan, mengelola dalam bentuk pangkalan data (database), merawat dan mempublikasikan tugas akhir atau tesis saya selama tetap mencantumkan nama saya sebagai penulis/pencipta dan sebagai pemilik hak cipta.

Demikian pernyataan ini saya buat dengan sesungguhnya.

Palembang, 06 Juni 2025

Yang menyatakan,



Gierrald Abduch

NIM.08092682327002

## PERNYATAAN KEASLIAN KARYA ILMIAH

Saya yang bertanda tangan dibawah ini :

Nama : Gierrald Abduch

NIM : 08092682327002

Prodi/BKU : Magister (S2) Kimia / Kimia Lingkungan

Menyatakan bahwa tesis yang berjudul " Sintesis dan Karakterisasi Komposit ZnFe<sub>2</sub>O<sub>4</sub>/SnO<sub>2</sub> Sebagai Fotodegradasi Antibiotik Tetrasiklin dan Zat warna Congo Red" ini adalah benar karya saya sendiri dan karya ilmiah ini belum pernah diajukan sebagai pemenuhan persyaratan untuk memperoleh gelar magister (S2) dari Universitas Sriwijaya maupun perguruan tinggi lain.

Semua informasi yang dimuat dalam tesis ini yang berasal dari penulis lain baik yang dipublikasikan maupun tidak, telah diberikan penghargaan dengan mengutip sumber penulis secara benar. Semua isi dari tesis ini sepenuhnya menjadi tanggung jawab saya sebagai penulis.

Demikian pernyataan ini saya buat dengan sebenarnya.

Palembang, 06 Juni 2025

Yang menyatakan,



Gierrald Abduch

NIM.08092682327002

## **HALAMAN PERSEMBAHAN**

Tesis ini sebagai tanda syukurku kepada Allah Subhanahu Wa Ta'aala, Tuhan Yang Maha Esa, atas limpahan rahmat, karunia, dan kasih sayang-Nya yang tak terhingga.

Tesis ini saya persembahkan kepada:

- Ayahku, Darmadi yang telah mendoakan, mendidik, serta memberikan semangat untuk terus belajar.
- Ibuku, L. Rury Purwanty yang telah mendoakan, memberikan nasihat dan menjadi motivasi ku untuk terus belajar.
- Adikku, Rayyan Abdul Najip yang menjadi semangat untuk terus hidup.
- Dosen pembimbing dan seluruh pendidik, yang telah berbagi ilmu, bimbingan, serta wawasan yang begitu berharga.
- Almamaterku (Universitas Sriwijaya)

## KATA PENGANTAR

Segala puji dan syukur kepada Allah SWT atas segala Nikmat, Rahmat, dan Karunia yang telah dilimpahkan kepada penulis sehingga penulis akhirnya dapat menyelesaikan penulisan tesis yang berjudul “Sintesis dan Karakterisasi Komposit ZnFe<sub>2</sub>O<sub>4</sub>/SnO<sub>2</sub> Sebagai Fotodegradasi Antibiotik Tetrasiklin dan Zat warna Congo Red”. Shalawat serta Salam semoga selalu tercurah kepada Rasulullah Muhammad SAW, keluarga, sahabat, serta para saudara umat Islam di manapun berada. Tesis ini dibuat sebagai salah satu syarat untuk memperoleh gelar Master Sains pada Fakultas Matematika dan Ilmu Pengetahuan Alam Jurusan Kimia Universitas Sriwijaya. Proses penyusunan tesis dan penelitian tidak terlepas dari berbagai hambatan dan rintangan yang penulis hadapi. Penulis menyadari sepenuhnya bahwa semua ini dapat terwujud karena bantuan dari berbagai pihak. Untuk itu, penulis mengucapkan banyak terima kasih yang sebesar-besarnya kepada:

1. Ayahku **Darmadi**, Ibuku **L.Rury Purwenty** dan Adikku **Rayyan Abdul Najip**, Sebagai tanda bakti, hormat, dan rasa terima kasih yang tiada terhingga kupersembahkan karya kecil ini kepada Ibu dan Ayah yang telah memberikan kasih sayang, segala dukungan, dan cinta kasih yang tiada terhingga yang tiada mungkin dapat kubalas hanya dengan selembar kertas yang bertuliskan kata cinta dalam kata persembahan. Semoga Allah SWT senantiasa melimpahkan keberkahan, kesehatan, dan kebahagiaan kepada Ayah dan Ibu, serta membalsas segala kebaikan kalian dengan pahala yang berlipat ganda.
2. Ibu **Prof. Dra. Dr. Poedji Loekitowati Hariani, M.Si.** selaku dosen pembimbing I, saya sampaikan rasa hormat dan terima kasih yang sebesar-besarnya atas segala bimbingan, arahan, kesabaran, dan ilmu yang telah diberikan selama proses penyusunan tesis ini. Terima kasih atas waktu yang diluangkan, motivasi, serta rasa kekeluargaan yang telah membantu saya menyelesaikan penelitian dan tesis ini. Saya juga mohon maaf apabila terdapat kekeliruan atau kekurangan dalam proses membimbing saya. Semoga segala yang telah Ibu berikan menjadi amal jariyah dan mendapatkan balasan terbaik dari Allah SWT.
3. Bapak **Dr. Muhammad Said, M.T.** selaku dosen pembimbing II atas segala bimbingan, kesabaran dan waktu yang diluangkan kepada penulis selama

menjalankan penelitian dan penyusunan skripsi hingga selesai. Setiap masukan, bimbingan serta kemudahan yang bapak berikan yang diberikan sangat berarti bagi saya. Saya mohon maaf jika ada kekeliruan atau kekurangan dalam penelitian ini.

4. Ibu **Dr. Nova Yuliasari, S.Si., M.Si.** dan Ibu **Dr. Desnelli, M.Si.** Selaku dosen pembahas atau penguji, terima kasih atas masukan dan saran terkait penelitian dan dalam penyelesaian tesis. Terimakasih atas kemudahan yang diberikan.
5. Seluruh **Dosen Jurusan Magister Kimia FMIPA**, Universitas Sriwijaya yang telah membimbing dan memberikan ilmu kepada penulis selama masa perkuliahan, terima kasih atas setiap pelajaran kehidupan yang diberikan.
6. Orang selalu mendukung, mendoakan dan membantu segala proses hingga tesis ini dapat diselesaikan tepat waktu. **Ester D.R.H** Terima kasih segala bantuannya, tempat untuk berdiskusi, bercerita, dan mengeluh. Tesis ini dipersembahkan juga untuk manusia yang saya cintai, manusia yang siap sedia memberikan waktu untuk meluapkan kesedihan dan kebahagiaan. Terimakasih telah mengenalkan banyak hal kepadaku dan menegur ketika aku salah dan malas. Semoga kesuksesan dan keberkahan mendampingi hingga kita bisa membanggakan kedua orang tua.
7. Sahabat – sahabat saya di S2-Kimia yaitu **Daniel Alfarado** (Hantu penunggu Lab). Terima kasih telah membantu saya dari awal pendaftaran kuliah, pencarian beasiswa, bimbingan tesis dan diskusi. Saya senang dan bangga memdapatkan teman seperjuangan yang sangat memotivasi saya dan saling menolong. Semoga kita bisa mencerdaskan anak bangsa. See you on the top.
8. Seluruh teman teman **S2-Kimia angkatan 2023**. Terima kasih atas bantuannya selama perkuliahan.

## SUMMARY

### ***SYNTHESIS AND CHARACTERIZATION OF COMPOSITES ZnFe<sub>2</sub>O<sub>4</sub>/SnO<sub>2</sub> AS PHOTODEGRADATION OF TETRACYCLINE ANTIBIOTICS AND CONGO RED DYES***

Gierrald Abduch: Supervised by Prof. Dr. Poedji Loekitowati H, M.Si dan Dr. Muhammad Said S.Si., M.Si

*Chemistry, Faculty of Mathematics and Natural Sciences, Sriwijaya University*

*xv + 89 pages, 16 tables, 23 figures, 23 attachments.*

*Tetracycline is an antibiotic that is often used in human medicine, aquaculture and veterinary medicine because of its low production cost, but excessive use produces tetracycline waste that pollutes water. In addition to tetracycline, wastewater can also contain dyes, one of which is congo red. Congo red dye that is widely used for printing newspapers and textiles. Liquid waste containing congo red and tetracycline dyes if discharged into water can be hazardous to the environment and can have an impact on humans, therefore it is necessary to process liquid waste containing tetracycline and congo red dyes using the semiconductor photodegradation method because of its high degradation effectiveness, cost efficiency and environmental friendliness. This study synthesizes ZnFe<sub>2</sub>O<sub>4</sub>/SnO<sub>2</sub> composites as photocatalytic to degrade tetracycline and congo red. The degradation process involves several different variables such as pH, concentration, alignment time. The method used in optimizing photodegradation using ZnFe<sub>2</sub>O<sub>4</sub>/SnO<sub>2</sub> is Response Surface Methodology (RSM). The synthesis results were characterized using XRD, SEM-EDS, FT-IR, VSM, and Uv-Vis DRS. The XRD results obtained a crystal size of 21.11 nm. The SEM-EDS results showed a homogeneous morphology with the constituent elements O (51.6%), Fe (4.2%), zN (1.4%) and Sn (27.9%). The FT-IR results showed no changes in the absorption band in the ZnFe<sub>2</sub>O<sub>4</sub>/SnO<sub>2</sub> composite after being used to degrade tetracycline and congo red dye. The VSM results obtained a magnetization value of 12.86 emu/g. The UV-Vis DRS results obtained a band gap of 3.72 eV. The pH<sub>pzc</sub> of the ZnFe<sub>2</sub>O<sub>4</sub>/SnO<sub>2</sub> composite was 6.2. The optimum conditions for the degradation of congo red dye were pH 5, a concentration of 5 ppm, and an irradiation time of 80 minutes with a degradation efficiency of 84.848%, the R<sup>2</sup> RSM value was 0.943. The optimum condition of tetracycline degradation is pH 2, concentration 10 ppm and copying time 80 minutes with degradation efficiency value of 95.924%, R<sup>2</sup> RSM value is 0.9599. Determination of degradation kinetics follows pseudo first order with tetracycline k value of 0.027175 with R<sup>2</sup> value of 0.9911 and congo red k value of 0.035006 with R<sup>2</sup> value of 0.9932*

*Keywords:* ZnFe<sub>2</sub>O<sub>4</sub>/SnO<sub>2</sub>, Photodegradation, Tetracycline, Congo Red Dye, RSM

Citations: 56 (2012-2024)

**RINGKASAN**  
**SINTESIS DAN KARAKTERISASI KOMPOSIT ZnFe<sub>2</sub>O<sub>4</sub>/SnO<sub>2</sub> SEBAGAI**  
**FOTODEGRADASI ANTIBIOTIK TETRASIKLIN DAN**  
**ZAT WARNA *CONGO RED***

Gierrald Abduch: Dibimbing oleh Prof. Dr. Poedji Loekitowati H, M.Si dan Dr. Muhammad Said S.Si., M.Si

Kimia, Fakultas Matematika dan Ilmu Pengetahuan Alam, Universitas Sriwijaya  
 xv + 89 halaman, 16 tabel, 23 gambar dan 23 lampiran

Tetrasiklin merupakan antibiotik yang sering digunakan pada bidang pengobatan manusia, budidaya perairan dan kedokteran hewan karena biaya produksinya yang murah, namun penggunaan secara berlebihan menghasilkan limbah tetrasiklin yang mencemari perairan. Selain tetrasiklin, air limbah juga dapat mengandung zat warna, salah satu zat warna tersebut adalah *congo red*. Zat warna *congo red* merupakan zat warna yang banyak digunakan untuk pencetakan koran dan tekstil. Limbah cair yang mengandung Zat warna *congo red* dan tetrasiklin apabila dibuang ke perairan dapat menimbulkan bahaya bagi lingkungan dan dapat berdampak terhadap manusia, oleh karena itu diperlukan pengolahan terhadap limbah cair yang mengandung tetrasiklin dan zat warna *congo red* menggunakan metode fotodegradasi semikonduktor karena efektivitas degradasi tinggi, efisiensi biaya serta ramah lingkungan. Penelitian ini mensintesis komposit ZnFe<sub>2</sub>O<sub>4</sub>/SnO<sub>2</sub> sebagai fotokatalitik untuk mendegradasi tetrasiklin dan *congo red*. Proses degradasi melibatkan beberapa variabel yang berbeda seperti pH, konsentrasi, waktu penyinaran. Metode yang digunakan dalam optimasi fotodegradasi menggunakan ZnFe<sub>2</sub>O<sub>4</sub>/SnO<sub>2</sub> adalah *Response Surface Methodology* (RSM). Hasil sintesis dikarakterisasi menggunakan XRD, SEM-EDS, FT-IR, VSM, dan Uv-Vis DRS. Hasil XRD mendapatkan ukuran kristal 21,11 nm. Hasil SEM-EDS menunjukkan morfologi homogen dengan unsur penyusun O (51,6%), Fe (4,2%), zN (1,4%) dan Sn (27,9%). Hasil FT-IR tidak ada perubahan pita serapan pada komposit ZnFe<sub>2</sub>O<sub>4</sub>/SnO<sub>2</sub> setelah digunakan untuk mendegradasi tetrasiklin dan zat warna *congo red*. Hasil VSM didapatkan nilai magnetasi 12,86 emu/g. Hasil UV-Vis DRS didapatkan band gap 3,72 eV. pH<sub>pzc</sub> dari komposit ZnFe<sub>2</sub>O<sub>4</sub>/SnO<sub>2</sub> adalah 6,2. Kondisi optimum degradasi zat warna *congo red* adalah pH 5, konsentrasi 5 ppm, dan waktu penyinaran 80 menit dengan efisiensi degradasi 84,848%, nilai R<sup>2</sup> RSM adalah 0,943. Kondisi optimum degradasi tetrasiklin adalah pH 2, konsentrasi 10 ppm dan waktu penyinaran 80 menit dengan nilai efisiensi degradasi 95,924%, nilai R<sup>2</sup> RSM adalah 0,9599. Penetapan kinetika degradasi mengikuti *pseudo first order* dengan nilai k tetrasiklin 0,027175 dengan nilai R<sup>2</sup> 0,9911 dan nilai k *congo red* 0,035006 dengan nilai R<sup>2</sup> 0,9932

Kata kunci : ZnFe<sub>2</sub>O<sub>4</sub>/SnO<sub>2</sub>, Fotodegradasi, Tetrasiklin, Zat warna *congo red*, RSM

Kutipan : 56 (2012-2024)

## DAFTAR ISI

<b>Halaman pengesahan .....</b>	<b>ii</b>
<b>Halaman persetujuan.....</b>	<b>iii</b>
<b>HALAMAN PERSETUJUAN PUBLIKASI KARYA ILMIAH UNTUK</b>	
<b>KEPERLUAN AKADEMIS.....</b>	<b>iv</b>
<b>PERNYATAAN KEASLIAN KARYA ILMIAH.....</b>	
<b>HALAMAN PERSEMBAHAN.....</b>	<b>v</b>
<b>KATA PENGANTAR.....</b>	<b>vi</b>
<b>SUMMARY .....</b>	<b>vii</b>
<b>RINGKASAN .....</b>	<b>ix</b>
<b>DAFTAR ISI.....</b>	<b>x</b>
<b>DAFTAR GAMBAR.....</b>	<b>xi</b>
<b>DAFTAR TABEL.....</b>	<b>xv</b>
<b>DAFTAR LAMPIRAN .....</b>	<b>xvi</b>
<b>BAB 1 PENDAHULUAN .....</b>	
1.1.Latar Belakang .....	1
1.2. Rumusan Masalah .....	1
1.3. Tujuan Penelitian .....	3
1.4. Manfaat Penelitian .....	3
1.5. Hipotesis Penelitian.....	3
1.6. Kerangka Berpikir.....	4
<b>BAB II TINJAUAN PUSTAKA.....</b>	
2. 1. ZnFe <sub>2</sub> O <sub>4</sub> .....	6
2. 2. Semikonduktor SnO <sub>2</sub> .....	7
2. 3. Komposit ZnFe <sub>2</sub> O <sub>4</sub> /SnO <sub>2</sub> .....	7

2. 4. Fotokatalitik .....	8
2. 5. Tetrasiklin .....	8
2. 6. Zat warna <i>congo red</i> .....	9
2. 7. <i>Response Surface Methodology</i> (RSM) .....	10
2. 8. Karakterisasi.....	11
2. 8. 1. Spektrofotometri FT-IR .....	11
2. 8. 2. X-Ray Difraction (XRD).....	11
2. 8. 3. UV-Vis Diffuse Reflectance Spectroscopy (DRS).....	12
2. 8. 4. Scanning Electron Microscope Energy Dispersive X-Ray 13 Spectrometry (SEM-EDS) .....	13
2. 8. 5. Vibrating Sample Magnetometer (VSM).....	14
<b>BAB III METODOLOGI PENELITIAN .....</b>	<b>16</b>
3.1. Waktu dan Tempat .....	16
3.2. Alat dan Bahan.....	16
3.2.1. Alat.....	16
3.2.2. Bahan.....	16
3.3. Prosedur Kerja.....	17
3.3.1. Sintesis ZnFe <sub>2</sub> O <sub>4</sub> .....	17
3.3.2. Sintesis ZnFe <sub>2</sub> O <sub>4</sub> /SnO <sub>2</sub> .....	17
3.3.3. Penentuan pH <sub>pzc</sub> .....	17
3.3.4. Penentuan Kurva Kalibrasi Zat warna <i>congo red</i> .....	17
3.3.5. Penentuan Kurva Kalibrasi Tetrasiklin .....	18
3.3.6. Penentuan Kondisi Optimum Fotodegradasi Zat warna <i>congo red</i> ..... berdasarkan <i>RSM</i> .....	18
3.3.7. Penentuan Kondisi Optimum Fotodegradasi Tetrasiklin berdasarkan..... <i>RSM</i> .....	19
3.4. Analisis Data .....	19

3.5.	Karakterisasi Sintesis ZnFe <sub>2</sub> O <sub>4</sub> /SnO <sub>2</sub> .....	19
3.6.	Penentuan Kondisi Optimum Fotodegradasi Zat warna <i>congo red</i> dan ...	20
	Tetrasiklin .....	20
3.7.	Penentuan Kinetika Fotodegradasi.....	21
<b>BAB IV HASIL DAN PEMBAHASAN .....</b>		<b>22</b>
4. 1.	Hasil Sintesis ZnFe <sub>2</sub> O <sub>4</sub> .....	22
4. 2.	Hasil Sintesis ZnFe <sub>2</sub> O <sub>4</sub> /SnO <sub>2</sub> .....	23
4. 3.	Hasil Karakterisasi .....	23
4. 3. 1	Hasil Karakterisasi Komposit Menggunakan <i>X-Ray Difraction</i> (XRD)...	23
4. 3. 2	Hasil Karakterisasi Komposit Menggunakan Scanning Elektron .....	25
	Microscope-Energi Dispersive (SEM-EDS) .....	25
4. 3. 3	Hasil Karakterisasi Komposit Sebelum dan Sesudah digunakan untuk... Mendegradasi Menggunakan <i>Spektrofotometri IR</i> (FT-IR).....	27
4. 3. 4	Hasil Karakterisasi Menggunakan <i>Vibrating Sample Magnometer</i> .....	29
	(VSM) .....	29
4. 3. 5	Hasil Karakterisasi Menggunakan <i>UV-Vi s Diffuse Reflectance Spectroscopy</i> (DRS).....	31
4. 4.	Penentuan Hasil pH <sub>pzc</sub> .....	32
4. 5.	Penentuan Kondisi Optimum Degradasi Zat warna <i>congo red</i> .....	34
	Menggunakan ZnFe <sub>2</sub> O <sub>4</sub> /SnO <sub>2</sub> Berdasarkan RSM .....	34
4. 6.	Penentuan Kondisi Optimum Degradasi Tetrasiklin Menggunakan.....	42
	ZnFe <sub>2</sub> O <sub>4</sub> /SnO <sub>2</sub> Berdasarkan RSM .....	42
4. 7.	Penetapan Model Kinetika Degradasi Tetrasiklin dan.....	51
	Zat warna <i>congo red</i> .....	51
<b>BAB V KESIMPULAN DAN SARAN .....</b>		<b>53</b>
5. 1.	Kesimpulan .....	53
5. 2.	Saran.....	54
<b>DAFTAR PUSTAKA.....</b>		<b>55</b>

<b>LAMPIRAN.....</b>	<b>63</b>
----------------------	-----------

## DAFTAR GAMBAR

Gambar 1. Alur kerangka berpikir .....	5
Gambar 2. Struktur oktahedral dan tetrahedral ZnFe <sub>2</sub> O <sub>4</sub> .....	6
Gambar 3. Struktur tetrasiklin.....	9
Gambar 4. Struktur Congo red.....	10
Gambar 5. Hasil FTIR ZnFe <sub>2</sub> O <sub>4</sub> /SnO <sub>2</sub> .....	11
Gambar 6. Hasil XRD ZnO dan ZnFe <sub>2</sub> O <sub>4</sub> .....	12
Gambar 7. Hasil UV-Vis DRS .....	13
Gambar 8. Hasil SEM EDS <i>composite</i> . .....	14
Gambar 9. Kurva VSM .....	15
Gambar 10. (a). ZnFe <sub>2</sub> O <sub>4</sub> pada saat pH 3 (b) ZnFe <sub>2</sub> O <sub>4</sub> pada saat pH 10 .....	22
Gambar 11. Serbuk ZnFe <sub>2</sub> O <sub>4</sub> yang sudah dikalsinasi.....	22
Gambar 12. Hasil sintesis ZnFe <sub>2</sub> O <sub>4</sub> /SnO <sub>2</sub> (1:1), (1:2), (2:1).....	23
Gambar 13. Difraktogram Komposit .....	24
Gambar 14. Morfologi SEM (a). SnO <sub>2</sub> , (b). ZnFe <sub>2</sub> O <sub>4</sub> , (c). ZnFe <sub>2</sub> O <sub>4</sub> /SnO <sub>2</sub> (1:1), .	26
(d). ZnFe <sub>2</sub> O <sub>4</sub> /SnO <sub>2</sub> (2:1), (e). ZnFe <sub>2</sub> O <sub>4</sub> /SnO <sub>2</sub> (1:2).....	26
Gambar 15. Spektrum FTIR (a) ZnFe <sub>2</sub> O <sub>4</sub> /SnO <sub>2</sub> (1:2), (b) ZnFe <sub>2</sub> O <sub>4</sub> /SnO <sub>2</sub> (1:2) ...	28
sesudah mendegradasi tetrasiklin, (c) ZnFe <sub>2</sub> O <sub>4</sub> /SnO <sub>2</sub> (1:2) sesudah .....	28
mendegradasi zat warna congo red.....	28
Gambar 16. Kurva histerisis ZnFe <sub>2</sub> O <sub>4</sub> , ZnFe <sub>2</sub> O <sub>4</sub> /SnO <sub>2</sub> (1:1), ZnFe <sub>2</sub> O <sub>4</sub> /SnO <sub>2</sub> .....	30
(2:1),danZnFe <sub>2</sub> O <sub>4</sub> /SnO <sub>2</sub> (1:2).....	30
Gambar 17. ZnFe <sub>2</sub> O <sub>4</sub> yang didekatkan ke magnet.....	31
Gambar 18. Nilai band gap (a.) SnO <sub>2</sub> (b.) ZnFe <sub>2</sub> O <sub>4</sub> (c.) ZnFe <sub>2</sub> O <sub>4</sub> /SnO <sub>2</sub> .....	32
Gambar 19. Hasil kurva pH <sub>pzc</sub> .....	33
Gambar 21. Hasil analisis model respon daya sebar.....	39
Gambar 22. Contour dan 3D surface degradasi zat warna congo red.....	40
Gambar 23. Hasil analisis model respon daya sebar.....	47
Gambar 24. Contour dan 3D surface degradasi tetrasiklin .....	50
Gambar 25. Grafik kinetika degradasi zat warna congo red pseudo first order....	51
Gambar 26. Grafik kinetika degradasi tetrasiklin pseudo first order .....	52

## DAFTAR TABEL

Tabel 1. Tingkat parameter variabel kondisi optimal degradasi .....	19
Zat warna congo red.....	19
Tabel 2. Tingkat parameter variabel kondisi optimal degradasi tetrasiklin. ....	19
Tabel 3. Ukuran Krsital Komposit.....	25
Tabel 4. Unsur penyusun komposit.....	27
Tabel 5. Hasil pita serapan dari spektrum FTIR ZnFe <sub>2</sub> O <sub>4</sub> /SnO <sub>2</sub> (1:2), (b) ZnFe <sub>2</sub> O <sub>4</sub> /SnO <sub>2</sub> (1:2) sesudah mendegradasi tetrasiklin, (c) ZnFe <sub>2</sub> O <sub>4</sub> /SnO <sub>2</sub> (1:2) sesudah mendegradasi zat warna congo red.....	29
Tabel 6. Hasil percobaan menggunakan CCD .....	35
Tabel 7. Hasil pemodelan design expert .....	36
Tabel 8. Parameter statistic respon ANOVA .....	36
Tabel 9. Hasil ANOVA pada Respon Efisiensi zat warna congo red.....	37
Tabel 10. Kriteria variabel dan respon yang diinginkan.....	41
Tabel 11. Titik optimum yang disarankan aplikasi .....	42
Tabel 12. Hasil percobaan menggunakan CCD .....	43
Tabel 13. Hasil pemodelan design expert .....	44
Tabel 14. Parameter statistic respon ANOVA .....	44
Tabel 15. Hasil ANOVA pada Respon Efisiensi Tetrasiklin.....	45
Tabel 16. Kriteria variabel dan respon yang diinginkan.....	48
Tabel 17. Titik optimum yang disarankan aplikasi .....	48
Tabel 18. Konstanta model kinetik fotodegradasi Zat warna congo red..... dan tetrasiklin terhadap pengaruh waktu .....	50 51

## DAFTAR LAMPIRAN

Lampiran 1 Sintesis ZnFe <sub>2</sub> O <sub>4</sub> .....	64
Lampiran 2 Sintesis ZnFe <sub>2</sub> O <sub>4</sub> /SnO <sub>2</sub> Perbandingan rasio mol 1 : 2 .....	65
Lampiran 3 Sintesis ZnFe <sub>2</sub> O <sub>4</sub> /SnO <sub>2</sub> Perbandingan rasio mol 2 : 1 .....	66
Lampiran 4 Sintesis ZnFe <sub>2</sub> O <sub>4</sub> /SnO <sub>2</sub> Perbandingan rasio mol 1 : 1 .....	67
Lampiran 5 Reaksi Pembentukan ZnFe <sub>2</sub> O <sub>4</sub> .....	68
Lampiran 6 Hasil karakterisasi ZnFe <sub>2</sub> O <sub>4</sub> /SnO <sub>2</sub> menggunakan FT-IR.....	69
Lampiran 7 Hasil karakterisasi ZnFe <sub>2</sub> O <sub>4</sub> /SnO <sub>2</sub> setelah mendegradasi congo red. menggunakan FT-IR.....	70
Lampiran 8 Hasil karakterisasi ZnFe <sub>2</sub> O <sub>4</sub> /SnO <sub>2</sub> setelah mendegradasi tetrasiklin. menggunakan FT-IR.....	71
Lampiran 9 Data difraksi XRD SnO <sub>2</sub> .....	72
Lampiran 10 Data difraksi XRD ZnFe <sub>2</sub> O <sub>4</sub> .....	73
Lampiran 11 Data difraksi XRD ZnFe <sub>2</sub> O <sub>4</sub> /SnO <sub>2</sub> (1:1).....	74
Lampiran 12 Data difraksi XRD ZnFe <sub>2</sub> O <sub>4</sub> /SnO <sub>2</sub> (1:2).....	76
Lampiran 13 Data difraksi XRD ZnFe <sub>2</sub> O <sub>4</sub> /SnO <sub>2</sub> (2:1).....	78
Lampiran 14 Hasil sintesis menggunakan SEM .....	80
Lampiran 15 Hasil sintesis ZnFe <sub>2</sub> O <sub>4</sub> , ZnFe <sub>2</sub> O <sub>4</sub> /SnO <sub>2</sub> (1:1), (1:2), (2:1)..... menggunakan VSM.....	84
	85
Lampiran 16 Hasil sintesis ZnFe <sub>2</sub> O <sub>4</sub> , ZnFe <sub>2</sub> O <sub>4</sub> /SnO <sub>2</sub> (1:2), SnO <sub>2</sub> ..... menggunakan UV-VIS DRS .....	85
	86
Lampiran 17 Penentuan pH point zero charge (pHpzc) komposit ZnFe <sub>2</sub> O <sub>4</sub> /SnO <sub>2</sub> (1:2) .....	89
	90
Lampiran 18 Penentuan kurva kalibrasi congo red.....	90
Lampiran 19 Penentuan kurva kalibrasi tetrasiklin.....	91
Lampiran 20. Perhitungan Efisiensi Degradasi Congo Red.....	92
Lampiran 21. Perhitungan Efisiensi Degradasi Tetrasiklin .....	93
Lampiran 22. Perhitungan Parameter Kinetik Fotodegradasi congo red .....	94
Lampiran 23. Perhitungan Parameter Kinetik Fotodegradasi tetrasiklin .....	95

## BAB 1

### PENDAHULUAN

#### 1.1. Latar Belakang

Tetrasiklin merupakan antibiotik yang sering digunakan pada bidang pengobatan manusia dan obat dalam budidaya ikan karena biaya produksinya yang murah dan memiliki kualitas serta kemurnian yang baik, namun penggunaan yang pada sektor pertanian dan budidaya perikanan secara berlebihan menghasilkan limbah tetrasiklin yang mencemari perairan (Amangelsin et al., 2023). Dampak negatif air yang tercemar tetrasiklin dapat menyebabkan munculnya bakteri yang resisten terhadap tetrasiklin sehingga beresiko terhadap kesehatan manusia (Nami, 2024). Selain tetrasiklin, air limbah juga dapat mengandung zat warna, salah satu zat warna tersebut adalah zat warna *congo red*. Zat warna *congo red* merupakan zat warna yang banyak digunakan untuk pencetakan koran dan tekstil. Limbah cair yang mengandung Zat warna *congo red* apabila dibuang ke perairan dapat menimbulkan bahaya bagi lingkungan dan dapat berdampak terhadap manusia (Christina et al., 2024; Liu et al., 2022). Oleh karena itu diperlukan pengolahan air limbah yang mengandung tetrasiklin dan Zat warna *congo red* sebelum dibuang ke lingkungan.

Pengolahan air limbah yang mengandung tetrasiklin dapat menggunakan metode biodegradasi, adsorpsi dan fotokatalisis (Guo et al., 2024). Dari ketiga metode tersebut fotokatalisis merupakan metode pengolahan yang ramah lingkungan, rendah biaya dan tidak beracun, sehingga dapat digunakan sebagai pengolahan tetrasiklin (Guo et al., 2024; Moradi et al., 2023). Pengolahan air limbah yang mengandung Zat warna *congo red* menggunakan metode fotokatalisis lebih efisien daripada pengolahan air limbah konvensional dan hemat biaya pengolahan (Rianjanu et al., 2024).

Fotokatalisis memiliki potensi untuk mendegradasi polutan dengan memanfaatkan radiasi UV-Visible. Proses fotokatalisis membutuhkan fotokatalis dalam mendegradasi polutan. Fotokatalis yang paling efektif dalam proses degradasi adalah logam oksida (Mohamed et al., 2024). Logam oksida digunakan

sebagai fotokatalis murni dan fotokatalis gabungan (Bai et al., 2022). Salah satu fotokatalis yang digunakan dalam proses degradasi adalah SnO<sub>2</sub>.

SnO<sub>2</sub> merupakan senyawa yang tidak beracun dan memiliki sifat fotokatalis kuat. Namun, SnO<sub>2</sub> membutuhkan sinar UV untuk eksitasi fotonik karena SnO<sub>2</sub> memiliki pita celah lebar yaitu 3.5 – 3.8 eV (Gao et al., 2020; Li et al., 2023). Efisiensi proses degradasi dan respons terhadap UV-Visible dapat ditingkatkan dengan menggabungkan semikonduktor pita celah sempit dengan SnO<sub>2</sub> (Karunakaran et al., 2013). Salah satu semikonduktor yang memiliki pita celah sempit adalah ZnFe<sub>2</sub>O<sub>4</sub>. ZnFe<sub>2</sub>O<sub>4</sub> merupakan salah satu semikonduktor yang digunakan sebagai fotokatalisis karena memiliki kemampuan penyerapan, pendispersi yang baik, stabilitas struktural, daya tahan tinggi dan tidak beracun ketika digunakan serta memiliki ukuran celah pita 1,9 eV (Guo et al., 2021; Huang et al., 2023; Sonu et al., 2021).

Pada penelitian Ni et al (2019) dilakukan sintesis ZnFe<sub>2</sub>O<sub>4</sub>/SnO<sub>2</sub> yang digunakan sebagai gas *sensing* aseton, sintesis ZnFe<sub>2</sub>O<sub>4</sub>/SnO<sub>2</sub> menggunakan metode sol gel dengan ukuran partikel 90.20 nm, 39.51 nm, 40.15 nm, 47.37 nm and 65.32 nm. Selain sebagai gas *sensing* aseton, ZnFe<sub>2</sub>O<sub>4</sub>/SnO<sub>2</sub> dapat digunakan untuk mendegradasi. Berdasarkan penelitian yang dilakukan Guo et al (2021), komposit ZnFe<sub>2</sub>O<sub>4</sub>/SnO<sub>2</sub> disintesis menggunakan metode *solution combustion synthesis* (SCS) dengan perbedaan konsentrasi SnO<sub>2</sub> yaitu 5, 10 dan 15%. Hasil yang didapat pita celah pada 1.2-2.0 eV sehingga dapat bekerja dibawah sinar UV-Visible dan efisiensi degradasi terhadap MB yaitu 95,2%. ZnFe<sub>2</sub>O<sub>4</sub> dikompositkan dengan SnO<sub>2</sub> dapat bekerja dibawah UV-Visible.

Proses degradasi melibatkan beberapa variabel yang berbeda seperti pH, konsentrasi, waktu penyinaran. Metode yang dapat digunakan dalam optimasi variabel dalam satu waktu salah satunya adalah metode *Response Surface Methodology* (RSM) (Ghosh et al., 2019). Dalam penggunaan RSM terdapat beberapa pilihan desain salah satunya menggunakan *Central Composite Design* (CCD), CCD merupakan rancangan paling banyak digunakan untuk mengoptimalkan hasil degradasi polutan dengan kondisi yang ditentukan. CCD dapat mengurangi jumlah percobaan yang dilakukan (Ghosh et al., 2019)

Berdasarkan uraian tersebut pada penelitian ini sintesis komposit ZnFe<sub>2</sub>O<sub>4</sub>/SnO<sub>2</sub> kemudian dikarakterisasi menggunakan FTIR, SEM-EDS, UV-Vis DRS, VSM dan XRD. Dalam proses degradasi tetrasiklin dan zat warna *congo red* dilakukan optimasi menggunakan RSM dengan *design* CCD dan variabel degradasi meliputi pH, konsentrasi dan waktu penyinaran.

### **1.2.Rumusan Masalah**

1. Bagaimana keberhasilan sintesis komposit ZnFe<sub>2</sub>O<sub>4</sub>/SnO<sub>2</sub> dengan dan berdasarkan hasil karakterisasi dari FTIR, SEM-EDS, UV-Vis DRS, VSM dan XRD ?
2. Bagaimana kondisi optimal fotodegradasi konsentrasi, pH dan waktu penyinaran degradasi tetrasiklin dan Zat warna *congo red* menggunakan ZnFe<sub>2</sub>O<sub>4</sub>/SnO<sub>2</sub> dengan metode RSM?
3. Bagaimana kinetika fotodegradasi dari hasil optimasi degradasi tetrasiklin dan Zat warna *congo red* menggunakan ZnFe<sub>2</sub>O<sub>4</sub>/SnO<sub>2</sub> dengan metode RSM?

### **1.3.Tujuan Penelitian**

1. Mensintesis ZnFe<sub>2</sub>O<sub>4</sub>/SnO<sub>2</sub> dan menentukan hasil karakterisasi ZnFe<sub>2</sub>O<sub>4</sub>/SnO<sub>2</sub> menggunakan FTIR, SEM-EDS, UV-Vis DRS, VSM dan XRD.
2. Menentukan kondisi optimal konsentrasi, pH dan waktu penyinaran degradasi tetrasiklin dan Zat warna *congo red* dengan menggunakan ZnFe<sub>2</sub>O<sub>4</sub>/SnO<sub>2</sub> dengan metode RSM.
3. Menentukan kinetika degradasi degradasi tetrasiklin dan Zat warna *congo red* dengan menggunakan ZnFe<sub>2</sub>O<sub>4</sub>/SnO<sub>2</sub> dengan metode RSM.

### **1.4.Manfaat Penelitian**

Hasil penelitian ini diperoleh metode fotodegradasi yang optimal tetrasiklin dan Zat warna *congo red* menggunakan komposit ZnFe<sub>2</sub>O<sub>4</sub>/SnO<sub>2</sub> untuk mengurangi limbah cair yang mengandung tetrasiklin dan Zat warna *congo red* agar tidak membahayakan lingkungan dan manusia.

### **1.5.Hipotesis Penelitian**

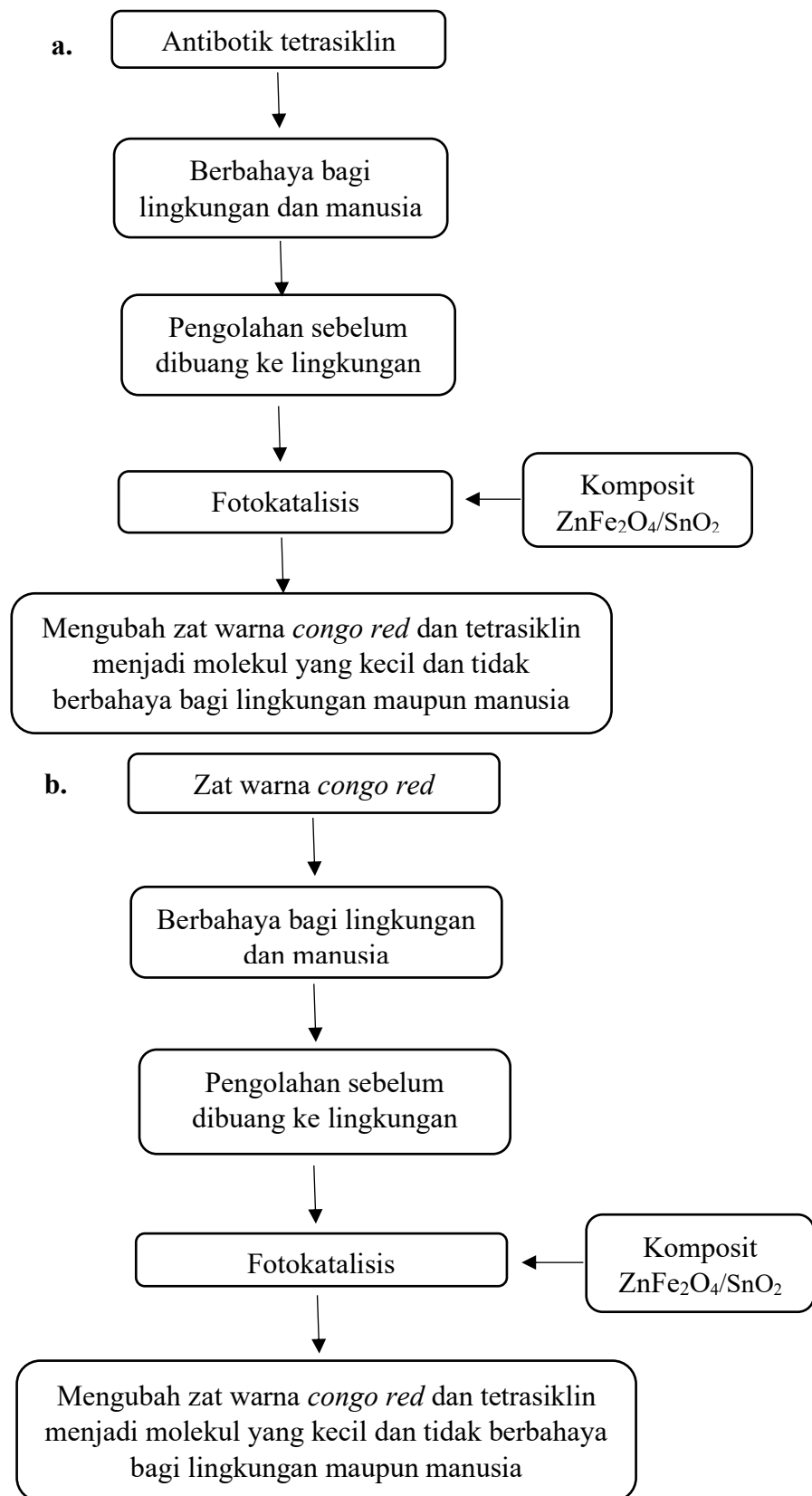
Komposit ZnFe<sub>2</sub>O<sub>4</sub>/SnO<sub>2</sub> bersifat Fotokatalis, apabila terkena sinar UV-Visible maka elektron akan berpindah dari pita konduksi ke pita valensi dan mengalami

kekosongan orbital pada  $ZnFe_2O_4$ . Kekosongan orbital akan menyebabkan aktivitas katalitik. Hipotesis penelitian ini:

1. Gabungan  $SnO_2$  dan  $ZnFe_2O_4$  akan menghasilkan fotokatalis dengan pita celah yang lebih sempit dibandingkan  $SnO_2$  sehingga dapat bekerja dibawah sinar UV-Visible.
2. pH, Konsentrasi dan waktu penyinaran berpengaruh terhadap efisiensi degradasi tetrasiklin dan Zat warna *congo red*.
3. Optimasi dengan menggunakan RSM akan menghasilkan persamaan matematika yang menghubungkan interaksi setiap variabel.
4. Dalam proses fotodegradasi mengikuti kinetika fotodegradasi pseudo orde 1

### **1.6.Kerangka Berpikir**

Penggunaan tetrasiklin dan Zat warna *congo red* yang berlebihan tanpa pengolahan yang baik dapat berbahaya bagi lingkungan dan merugikan manusia sehingga dibutuhkan pengolahan tetrasiklin dan Zat warna *congo red*. Pengolahan dengan metode fotokatalisis dengan memanfaatkan fotokatalis  $ZnFe_2O_4/SnO_2$  diharapkan dapat mendegradasi tetrasiklin dan Zat warna *congo red*. Alur kerangka berpikir dapat dilihat pada Gambar 1.



Gambar 1. Alur kerangka berpikir

## DAFTAR PUSTAKA

- Abdulhamid, Z. M., Dabbawala, A. A., Delclos, T., Straubinger, R., Rueping, M., Polychronopoulou, K., & Anjum, D. H. (2023). Synthesis, characterization, and preliminary insights of  $\text{ZnFe}_2\text{O}_4$  nanoparticles into potential applications, with a focus on gas sensing. *Scientific Reports*, 13(1), 1–16. <https://doi.org/10.1038/s41598-023-46960-w>
- Algarni, T. S., Al-Mohaimeed, A. M., Al-Odayni, A. B., & Abduh, N. A. Y. (2022). Activated Carbon/ $\text{ZnFe}_2\text{O}_4$  Nanocomposite Adsorbent for Efficient Removal of Crystal Violet Cationic Dye from Aqueous Solutions. *Nanomaterials*, 12(18). 12183224
- Alghanmi, R. M., & Abdelrahman, E. A. (2024). Simple production and characterization of  $\text{ZnO}/\text{MgO}$  nanocomposite as a highly effective adsorbent for eliminating congo red dye from water-based solutions. *Inorganic Chemistry Communications*, 112137.
- Amangelsin, Y., Semenova, Y., Dadar, M., Aljofan, M., & Bjørklund, G. (2023). The Impact of Tetracycline Pollution on the Aquatic Environment and Removal Strategies. *Antibiotics*, 12(3), 1–15.
- Aridi, A., Naoufal, D., El-Rassy, H., & Awad, R. (2022). Photocatalytic activity of  $\text{ZnFe}_2\text{O}_4/\text{NiO}$  nanocomposites carried out under UV irradiation. *Ceramics International*, 48(20), 30905–30916.
- Ayu, D., & Haris, A. (2015). Jurnal Kimia Sains dan Aplikasi Sintesis  $\text{ZnO-SiO}_2$  serta Aplikasinya pada Degradasi Limbah. *Jurnal Kimia Sains Dan Aplikasi*, 18(3), 96–100.
- Bai, X., Chen, W., Wang, B., Sun, T., Wu, B., & Wang, Y. (2022). Photocatalytic Degradation of Some Typical Antibiotics: Recent Advances and Future Outlooks. In *International Journal of Molecular Sciences*. 23 (15). MDPI.
- Christina, B., Thanigaimani, K., Sudhakaran, R., Mohan, S., Arumugam, N., Almansour, A. I., & Mahalingam, S. M. (2024). Pyto-Architechture of Ag,

- Au and Ag–Au bi-metallic nanoparticles using waste orange peel extract for enable carcinogenic Congo red dye degradation. Environmental Research.
- Diantoro, M., Sa, U., & Hidayat, A. (2018). Effect of SnO<sub>2</sub> Nanoparticles on *Band gap* Energy of x ( SnO<sub>2</sub> ) -y ( Ag ) - $\beta$ - Carotene / FTO Thin Film Effect of SnO<sub>2</sub> Nanoparticles on *Band gap* Energy of x ( SnO<sub>2</sub> ) - y ( Ag ) -  $\beta$  - Carotene / FTO Thin Film. 0–10.
- Dwiastuti, R., & Dewi, N. K. D. P. K. (2022). Aplikasi Metode Optimasi dalam Formulasi Sediaan Gel Nanopartikel Lipid dengan Bahan Aktif 4-n-Butilresorcinol. Jurnal Ilmiah Manuntung, 8(1), 71–81. <https://doi.org/10.51352/jim.v8i1.490>
- El Desouky, F. G., Saadeldin, M. M., Mahdy, M. A., & El Zawawi, I. K. (2021). Tuning the structure, morphological variations, optical and magnetic properties of SnO<sub>2</sub>/NiFe<sub>2</sub>O<sub>4</sub> nanocomposites for promising applications. Vacuum, 185(December 2020), 110003.
- Fabiani, V. A., Sari, F. I. P., Nur'Aini, & Putri, S. A. (2021). Biosynthesis and characterization of zinc ferrite (ZnFe<sub>2</sub>O<sub>4</sub>) via Antidesma bunius L. fruit extract. IOP Conference Series: Earth and Environmental Science, 926(1), 1–6. <https://doi.org/10.1088/1755-1315/926/1/012061>
- Gao, L., Fu, H., Zhu, J., Wang, J., Chen, Y., & Liu, H. (2020). Synthesis of SnO<sub>2</sub> nanoparticles for formaldehyde detection with high sensitivity and good selectivity. Journal of Materials Research, 35(16), 2208–2217.
- Garg, V. S. H. (2018). Study of structural and optical properties of SnO<sub>2</sub> nanoparticles developed by sol-gel route. Journal of Emerging Technologies and Innovative Research, 5(10), 656–665.
- Ghosh, P., Bhowmik, R. N., Bandyopadhyay, S., & Mitra, P. (2019). Influence of Particle Size on the Electrical Properties and Magnetic Field Dependent I–V Characteristics of Nanocrystalline ZnFe<sub>2</sub>O<sub>4</sub>. Transactions of the Indian Ceramic Society, 78(2), 111–120.

- Griffin, M. O., Fricovsky, E., Ceballos, G., & Villarreal, F. (2010). Tetracyclines: A pleitropic family of compounds with promising therapeutic properties. Review of the literature. *American Journal of Physiology - Cell Physiology*, 299(3).
- Guo, L., Okinaka, N., Zhang, L., & Watanabe, S. (2021). Facile synthesis of ZnFe<sub>2</sub>O<sub>4</sub>/SnO<sub>2</sub> composites for efficient photocatalytic degradation of methylene blue. *Materials Chemistry and Physics*, 262, 124273.
- Guo, Y., Yan, J., Chen, Z., Duan, C., Li, C., Li, Y., & Kawi, S. (2024). chloride-covalent organic framework ( AC-COF ) @ MIL-101 porous composites for boosted tetracycline removal. *Journal of Environmental Chemical Engineering*, 12(2), 112481.
- Hidayat, I. R., Zuhrotun, A., & Sopyan, I. (2020). Desain-Expert Software sebagai Alat Optimasi Formulasi Sediaan Farmasi. *Majalah Farmasetika*, 6(1), 99–120. <https://doi.org/10.24198/mfarmasetika.v6i1.27842>
- Jedynak, K., & Charmas, B. (2021). Preparation and characterization of physicochemical properties of spruce cone biochars activated by co2. *Materials*, 14(14). <https://doi.org/10.3390/ma14143859>
- Huang, D., Dai, J., Li, Z., Wen, X., Feng, W., & Liu, H. (2023). Effect of carbon-based nanomaterials on the wave absorption properties of hollow ZnFe<sub>2</sub>O<sub>4</sub>. *Materials Science and Engineering: B*, 293, 116462.
- Karunakaran, C., Sakthiraadha, S., Gomathisankar, P., & Vinayagamoorthy, P. (2013). Hydrothermal and sonochemical preparation and photocatalytic and bactericidal activities of ZnFe<sub>2</sub>O<sub>4</sub>-SnO<sub>2</sub> nanocomposite. *Superlattices and Microstructures*, 60, 487–499.
- Li, Y., Feng, Y., Bai, H., Liu, J., Hu, D., Fan, J., & Shen, H. (2023). Enhanced visible-light photocatalytic performance of black TiO<sub>2</sub>/SnO<sub>2</sub> nanoparticles. *Journal of Alloys and Compounds*, 960, 170672.

- Liu, Y., Qiu, G., Liu, Y., Niu, Y., Qu, R., Ji, C., Wang, Y., Zhang, Y., & Sun, C. (2022). Fabrication of CoFe-MOF materials by different methods and adsorption properties for Congo red. *Journal of Molecular Liquids*.
- Lys, A., Zabolotnii, V., Caplovicova, M., Tepliakova, I., Berzins, A., Sahul, M., Caplovi, L., Pogrebnjak, A., Iatsunskyi, I., & Viter, R. (2024). Core-shell nanofibers of  $ZnFe_2O_4/ZnO$  for enhanced visible-light photoelectrochemical performance. *Journal of Alloys and Compounds*, 173885.
- Mahanta, R., Chetri, P., & Bora, D. (2022). Investigation of visible light photocatalysis effect of  $SnO_2$  nanoparticles. *Physics Academy of North East*.
- Mahmudah, D., Sakinah, N., & Suharyadi, E. (2017). Adsorpsi Logam Tembaga (Cu), Mangan (Mn) dan Nikel (Ni) dalam Artificial Limbah Cair dengan Menggunakan Nanopartikel Magnetit ( $Fe_3O_4$ ). *Indonesian Journal of Applied Physics*, 4(02), 126. <https://doi.org/10.13057/ijap.v4i02.4974>
- Manikandan, D., & Murugan, R. (2022). Genesis and tuning of ferromagnetism in  $SnO_2$  semiconductor nanostructures: Comprehensive review on size, morphology, magnetic properties and DFT investigations. *Progress in Materials Science*, 130, 100970.
- Mano, T., Nishimoto, S., Kameshima, Y., & Miyake, M. (2015). Water treatment efficacy of various metal oxide semiconductors for photocatalytic ozonation under UV and visible light irradiation. *Chemical Engineering Journal*, 264, 221–229.
- Mohamed, A., Mahanna, H., & Samy, M. (2024). Synergistic effects of photocatalysis-periodate activation system for the degradation of emerging pollutants using GO/MgO nanohybrid. *Journal of Environmental Chemical Engineering*, 12.
- Mohamed, A., Mahanna, H., & Samy, M. (2024). Synergistic effects of photocatalysis-periodate activation system for the degradation of emerging

- pollutants using GO/MgO nanohybrid. *Journal of Environmental Chemical Engineering*, 12.
- Mohtaram, M. S., Sabbaghi, S., Jamal Rasouli, & Rasouli, K. (2024). Photocatalytic degradation of tetracycline using a novel  $\text{WO}_3\text{-ZnO/AC}$  under visible light irradiation: Optimization of effective factors by RSM-CCD. *Environmental Pollution*, 123746.
- Moradi, A., Khamforoush, M., Rahmani, F., & Ajamein, H. (2023). Synthesis of 0D/1D electrospun titania nanofibers incorporating CuO nanoparticles for tetracycline photodegradation and modeling and optimization of the removal process. *Materials Science and Engineering: B*, 297(July), 116711.
- Nami, S. Y. Al. (2024). Assessment of rhodium metal-organic frameworks for tetracycline removal from aqueous solutions: Box-Behnken Desain optimization, thermodynamics and reusability. *Materials Today Sustainability*.
- Ni, Q., Sun, L., Cao, E., Hao, W., Zhang, Y., & Ju, L. (2019). Enhanced acetone sensing performance of the  $\text{ZnFe}_2\text{O}_4/\text{SnO}_2$  nanocomposite. *Applied Physics A: Materials Science and Processing*, 125(11), 2–9.
- Nurmiah, S., Syarief, R., Peranginangin, R., Nurtama, B. (2013). *Aplikasi Response Surface Methodology pada Optimalisasi Kondisi Proses Pengolahan Alkali Treated Cottonii (ATC) Application of Response Surface Methodology in The Optimization of Process Conditions of Alkali Treated Cottonii (ATC) Processing*. *JPB Kelautan Dan Perikanan*, 8(1), 9–22.
- Palai, A., & Sahu, D. (2022). Sol-Gel Synthesized  $\text{SnO}_2$  Nanoparticle Showing Advanced Photocatalytic Attribute for Environmental Pollution Control. *Rasayan Journal of Chemistry*, 2022, 266–272. <https://doi.org/10.31788/RJC.2022.1558230>
- Parningotan, S., & Adityosulindro, S. (2023). Coupling of Coagulation and Fenton-Like Oxidation for Decolorization of Congo Red Dye in Water. *BIO Web of Conferences*, 69, 1–10.

- Pawar, B. G., Pinjari, D. V., Kolekar, S. S., Pandit, A. B., & Han, S. H. (2012). Effect of Sintering Temperatures on the Synthesis of SnO<sub>2</sub> Nanospheres. *ISRN Chemical Engineering*, 2012, 1–7. <https://doi.org/10.5402/2012/954869>
- Pawestri, W., Satria, G. D., Hakimah, N., & Yudhabuntara, D. (2019). Deteksi Kejadian Residu Tetrasiklin pada Daging Ikan Nila di Kota Yogyakarta dengan Kromatografi Cair Kinerja Tinggi (KCKT) Detection of Tetracycline Residue on Tilapia Meat in Kota Yogyakarta using High Performance Liquid Chromatography (HPLC). *37(2)*, 185–192.
- Pazouki, S., & Memarian, N. (2021). Effects of Hydrothermal temperature on the physical properties and anomalous *band gap* behavior of ultrafine SnO<sub>2</sub> nanoparticles. *Optik*, 167843.
- Prameswari, T. (2014). Sintesis Membran Kitosan-Silika Abu Sekam Padi Untuk Dekolisasi Zat Warna Color Red. In *Indonesian Journal Of Chemical Science*. 2 (3).
- Ramadan, R., Uskoković, V., & El-Masry, M. M. (2023). Triphasic CoFe<sub>2</sub>O<sub>4</sub>/ZnFe<sub>2</sub>O<sub>4</sub> / CuFe<sub>2</sub>O<sub>4</sub> nanocomposite for water treatment applications. *Journal of Alloys and Compounds*, 954.
- Reddy, L. V. A., Wee, Y. J., Yun, J. S., & Ryu, H. W. (2008). Optimization of alkaline protease production by batch culture of *Bacillus* sp. RKY3 through Plackett-Burman and response surface methodological approaches. *Bioresource Technology*, 99(7), 2242–2249. <https://doi.org/10.1016/j.biortech.2007.05.006>
- Rianjanu, A., Mustamin, A. S. P., Melati, E. K. A., Aflaha, R., Khamidy, N. I., Utami, M., Khairurrijal, K., Triyana, K., Abdi, F. F., Wasisto, H. S., & Taher, T. (2024). Photocatalytic degradation of aqueous Congo red dye pollutants by rare-earth metal oxide (CeO<sub>2</sub>) nanorods. *Colloids and Surfaces A: Physicochemical and Engineering Aspects*, 682, 132919.
- Rifi, S. K., Souabi, S., Driouich, A., Nassri, I., Haddaji, C., & Hafidi, M. (2022). Optimization of coagulation process for treatment of olive oil mill

- wastewater using *Moringa oleifera* as a natural coagulant, CCD combined with RSM for treatment optimization. *Process Safety and Environmental Protection*, 406–418.
- Roumaihi, K., Ismail, S. M., Labib, S., & Helal, A. (2023). Structural, magnetic, and optical properties of  $ZnFe_2O_4/RO$  ( $RO = CdO, NiO, Ga_2O_3, SnO_2$ , and  $TiO_2$ ) nanocomposites. *Journal of Materials Science*, 58(19), 7948–7967.
- Rytwo, G., & Zelkind, A. L. (2022). Evaluation of kinetic pseudo-order in the photocatalytic degradation of ofloxacin. *Catalysts*, 12(1), 1–11. <https://doi.org/10.3390/catal12010024>
- Saitoh, T., Shibata, K., Fujimori, K., & Ohtani, Y. (2017). Rapid removal of tetracycline antibiotics from water by coagulation-flootation of sodium dodecyl sulfate and poly(allylamine hydrochloride) in the presence of Al(III) ions. *Separation and Purification Technology*, 187(Iii), 76–83.
- Sari, R. S., & Hakim, A. R. (2019). Bonding analysis of magnetic nanoparticles (MNPS) zinc ferrite ( $ZnFe_2O_4$ ) encapsulated with silica ( $SiO_2$ ). *IOP Conference Series: Earth and Environmental Science*, 382(1).
- Siddiqui, S. I., Allehyani, E. S., Al-Harbi, S. A., Hasan, Z., Abomuti, M. A., Rajor, H. K., & Oh, S. (2023). Investigation of Congo Red Toxicity towards Different Living Organisms: A Review. *Processes*, 11(3), 1–12.
- Sonu, Sharma, S., Dutta, V., Raizada, P., Hosseini-Bandegharaei, A., Thakur, V., Nguyen, V. H., Vanle, Q., & Singh, P. (2021). An overview of heterojunctioned  $ZnFe_2O_4$  photocatalyst for enhanced oxidative water purification. *Journal of Environmental Chemical Engineering*, 9(5), 105812.
- Tabesh, F., Mallakpour, S., & Hussain, C. M. (2023). Recent advances in magnetic semiconductor  $ZnFe_2O_4$  nanoceramics: History, properties, synthesis, characterization, and applications. *Journal of Solid State Chemistry*, 322, 123940.
- Taib, S., & Suharyadi, E. (2015). Sintesis Nanopartikel Magnetite ( $Fe_3O_4$ ) dengan Template silika ( $SiO_2$ ) dan Karakterisasi Sifat Kemagnetannya. *Indonesian*

- Journal of Applied Physics, 5(01), 23.  
<https://doi.org/10.13057/ijap.v5i01.256>
- Tan, W., Ruan, X., Yu, Q., Yu, Z., & Huang, X. (2015). Fabrication of a SnO<sub>2</sub>-based acetone gas sensor enhanced by molecular imprinting. Sensors (Switzerland), 15(1), 352–364. <https://doi.org/10.3390/s150100352>
- Xie, Y., Liu, C., Li, D., & Liu, Y. (2022). In situ-generated H<sub>2</sub>O<sub>2</sub> with NCQDs/MIL-101(Fe) by activating O<sub>2</sub>: A dual effect of photocatalysis and photo-Fenton for efficient removal of tetracycline at natural pH. Applied Surface Science, 153312.
- Zhang, J., Tian, B., Wang, L., Xing, M., & Lei, J. (2018). Mechanism of Photocatalysis. In Lecture Notes in Chemistry (pp. 1–15).